

# КОЛЬЦА МНОГОЧЛЕНОВ ОРЕ ОДНОЙ ПЕРЕМЕННОЙ В КОМПЬЮТЕРНОЙ АЛГЕБРЕ

С. А. АБРАМОВ, Х. К. ЛЕ (H. Q. LE), AND З. ЛИ (Z. LI)

Аннотация. Мы описываем несколько алгоритмов, относящихся к кольцам многочленов Ore (или, для краткости, кольцам Ore), и Maple-пакет, реализующий основные операции в произвольном кольце Ore. Этот пакет можно использовать в качестве базового для многих алгоритмов в кольцах Ore, в частности, в дифференциальных кольцах, кольцах со сдвигом и кольцах с  $q$ -сдвигом.

## 1. ВВЕДЕНИЕ

Теория колец Ore (или, то же самое, колец многочленов Ore) дает возможность рассматривать обыкновенные линейные дифференциальные, разностные,  $q$ -разностные и другие операторы с общей точки зрения. Эти кольца были предложены Ore [24, 25, 26] как основа единой теории факторизации операторов, обобщающей теорию, разработанную ранее Ландау и Лёви для дифференциального случая [17, 21, 22]. Способ интерпретации абстрактных многочленов Ore как линейных операторов на векторном пространстве был предложен Джекобсоном в [16].

Теория колец Ore хороша не только тем, что позволяет одним махом доказывать утверждения об операторах разного вида, но также и открываемой ею возможностью создания многоцелевых алгоритмов и соответствующих программ, которые можно настраивать на конкретный вид операторов и уравнений. Стоит упомянуть, что идея привлечения колец Ore в компьютерной алгебре впервые была высказана и использована Бронштейном и Петковшекком в статье [8], где описан алгоритм факторизации в произвольном кольце Ore.

В этой работе мы описываем некоторые (но далеко не все) алгоритмы компьютерной алгебры, относящиеся к кольцам Ore. Раздел 2 содержит обзор

колец многочленов Ore одной переменной. В разделе 3, посвященном сопряжённым операторам, материал изложен в более общем виде, чем ранее [3]; материал раздела 4 об эффективном вычислении наибольших общих делителей (gcd) и наименьших общих кратных (lcm) излагается впервые. В разделе 5 даётся обзор пакета OreTools, который позволяет работать с многочленами Ore от одной переменной в системе компьютерной алгебры Maple [23]. Этот пакет можно использовать в качестве базы для многих алгоритмов в кольцах Ore, в частности, в дифференциальных кольцах, кольцах со сдвигом  $E$  и кольцах с  $q$ -сдвигом  $Q$ .

Сравнение этого пакета с другими подобными пакетами проводится в разделах 4 и 6. Информация о доступе к пакету приведена в разделе 7.

## 2. КОЛЬЦА МНОГОЧЛЕНОВ ORE ОДНОЙ ПЕРЕМЕННОЙ

В разделах 2.1, 2.4 дается краткий обзор общей теории многочленов Ore одной переменной и соответствующих линейных операторов. Детальное обсуждение и доказательства соответствующих утверждений см. в [24, 16, 8]. В разделе 2.2 мы рассматриваем идею гильбертова упрощения, следуя описанию из [10, 8]. В разделе 2.3 приводятся определение и основные свойства сопряжённых многочленов (детали см. в [10, Гл. 1 и 8 (разд. 3)]).

**2.1. Многочлены Ore.** Пусть  $k$  — поле характеристики 0, а  $\sigma : k \rightarrow k$  — автоморфизм  $k$ .

**Определение 2.1.** Дифференцирование относительно  $\sigma$  — это любое отображение  $\delta : k \rightarrow k$ , для которого

$$(1) \quad \delta(a + b) = \delta a + \delta b \text{ и } \delta(ab) = \sigma(a)\delta b + \delta a b \text{ для любых } a, b \in k.$$

**Определение 2.2.** Множество констант (относительно  $\sigma$  и  $\delta$ ) — это

$$\text{Const}_{\sigma, \delta}(k) = \{a \in k : \sigma(a) = a, \delta a = 0\}.$$

Можно показать, что  $\text{Const}_{\sigma, \delta}(k)$  — подполе поля  $k$ .

Следующая лемма описывает связь между  $\sigma$  и  $\delta$ . Если не возникает путаницы, мы обозначаем 1 тождественное отображение на  $k$ .

**Лемма 2.1.** Пусть  $\delta$  — дифференцирование  $k$  относительно  $\sigma$ .

- (i) Если  $\sigma \neq 1$ , то существует элемент  $\alpha \in k$ , для которого  $\delta = \alpha(\sigma - 1)$ .
- (ii) Если  $\delta \neq 0$ , то существует элемент  $\beta \in k$ , для которого  $\sigma = \beta\delta + 1$ .

**Пример 2.1.** Пусть  $k = \mathbb{F}(t)$  в случаях 1–4 и  $k = \mathbb{F}(q, t)$  в случаях 5–7, где  $\mathbb{F}$  — любое подполе  $\mathbb{C}$ .

	Случай	$\sigma$	$\delta$
1	дифференциальный	1	$\frac{d}{dt}$
2	эйлеров дифференциальный	1	$t \frac{d}{dt}$
3	рекуррентный	$E$	0
4	разностный	$E$	$E - 1$
5	$q$ -рекуррентный	$Q$	0
6	$q$ -разностный	$Q$	$Q - 1$
7	$q$ -дифференциальный	$Q$	$\frac{Q-1}{t(q-1)}$

**Определение 2.3.** Кольцо Оре (многочленов одной переменной) над  $k$ , заданное посредством  $\sigma$  и  $\delta$  и обозначаемое  $k[x; \sigma, \delta]$ , — это кольцо многочленов от  $x$  над  $k$  с обычным сложением многочленов и умножением, заданным формулой

$$(2) \quad xa = \sigma(a)x + \delta a \quad \text{для любого } a \in k.$$

Элементы кольца  $k[x; \sigma, \delta]$  называются многочленами Оре. Заметим, что в качестве  $k$  можно рассматривать некоторое кольцо (мы будем рассматривать многочлены Оре над кольцами в разделах 2.4, 3 и 4).

Пусть  $p(x) \in k[x; \sigma, \delta]$  и  $p(x) = p_m x^m + \dots + p_1 x + p_0$ ,  $p_m \neq 0$ , тогда  $m = \deg p(x)$ ,  $p_m = \text{lc } p(x)$ . Положим  $\deg 0 = -\infty$ ,  $\text{lc } 0 = 0$ . Если  $\text{lc } p(x) = 1$ , то многочлен  $p(x)$  называется *унитарным*. Можно показать, что в  $k[x; \sigma, \delta]$  имеются алгоритмы правого и левого деления. Пусть  $a, b \in k[x; \sigma, \delta] \setminus \{0\}$ . Применяя алгоритм правого деления, мы получаем

$$a = q_1 b + r_1, \quad q_1, r_1 \in k[x; \sigma, \delta], \quad \deg r_1 < \deg b;$$

$r_1, q_1$  называются соответственно *правым остатком* и *правым частным* при делении  $a$  на  $b$ . Аналогично, применяя алгоритм левого деления, мы получаем

$$a = b q_2 + r_2, \quad q_2, r_2 \in k[x; \sigma, \delta], \quad \deg r_2 < \deg b;$$

$r_2, q_2$  называются соответственно *левым остатком* и *левым частным* при делении  $a$  на  $b$ .

Для данных  $a, b \in k[x; \sigma, \delta]$  можно найти *наибольший общий правый делитель* (gcd) правым алгоритмом Евклида и *наименьшее общее левое кратное* (lclm) *расширенным* правым алгоритмом Евклида. Вычисление *наибольшего общего левого делителя* (gcld) и, соотв., *наименьшего общего правого кратного* (lcrn) можно свести к вычислению gcd и, соотв., lclm использованием сопряжения.

**2.2. Гильбертово упрощение.** Гильбертово упрощение — это изоморфизм колец, который отображает произвольное кольцо Ore в кольцо Ore с тривиальным дифференцированием при условии, что  $\sigma$  нетривиален.

**Предложение 2.2.** *Если существует  $\alpha \in k$ , для которого  $\alpha \neq \sigma(\alpha)$ , то биекция  $H_\alpha : k[x; \sigma, \delta] \rightarrow k[y; \sigma, 0]$ , заданная формулой*

$$H_\alpha \left( \sum_i a_i x^i \right) = \sum_i a_i \left( \frac{y + \delta\alpha}{\alpha - \sigma(\alpha)} \right)^i,$$

*является изоморфизмом колец.*

**2.3. Сопряжённые многочлены.**

**Определение 2.4.** Пусть  $k[x; \sigma, \delta]$  — кольцо Ore. Сопряжённое к  $k[x; \sigma, \delta]$  кольцо Ore — это  $k[x; \sigma^*, \delta^*]$ , где

$$(3) \quad \sigma^* = \sigma^{-1}, \quad \delta^* = -\delta \sigma^{-1}.$$

Пусть  $a = a_n x^n + \dots + a_1 x + a_0 \in k[x; \sigma, \delta]$ . Сопряжённый многочлен  $a^*$  определяется как

$$a^* = x^n a_n + \dots + x a_1 + a_0 \in k[x; \sigma^*, \delta^*].$$

Отметим, что произведение  $x^i a_i$  надо вычислять в кольце Ore  $k[x; \sigma^*, \delta^*]$ . Легко показать, что  $\text{Const}_{\sigma, \delta}(k) = \text{Const}_{\sigma^*, \delta^*}(k)$  и  $(\sigma^*)^* = \sigma$ ,  $(\delta^*)^* = \delta$ . Также можно проверить, что сопряжение — линейное (над  $\text{Const}_{\sigma, \delta}$ ) биективное отображение и  $(a^*)^* = a$ ,  $(ab)^* = b^* a^*$ . Кроме того,

$$\text{gcld}(a, b) = (\text{gcd}(a^*, b^*))^*, \quad \text{lcrn}(a, b) = (\text{lclm}(a^*, b^*))^*.$$

**Пример 2.2.** Из примера 2.1 и определения 2.4 следует, что

	Случай	$\sigma^*$	$\delta^*$
1	дифференциальный	1	$-\frac{d}{dt}$
2	эйлеров дифференциальный	1	$-t \frac{d}{dt}$
3	рекуррентный	$E^{-1}$	0
4	разностный	$E^{-1}$	$E^{-1} - 1$
5	$q$ -рекуррентный	$Q^{-1}$	0
6	$q$ -разностный	$Q^{-1}$	$Q^{-1} - 1$
7	$q$ -дифференциальный	$Q^{-1}$	$\frac{Q^{-1}-1}{t(q-1)}$

#### 2.4. Многочлены Оре как линейные операторы.

**Определение 2.5.** Пусть  $V$  — векторное пространство над  $k$ . Отображение  $\theta : V \rightarrow V$  псевдолинейно относительно  $\sigma$  и  $\delta$ , если

$$(4) \quad \theta(u + v) = \theta(u) + \theta(v), \quad \theta(au) = \sigma(a)\theta(u) + \delta a u$$

для любых  $a \in k$ ,  $u, v \in V$ .

Предположим, что  $K$  —  $\sigma, \delta$ -согласованное надкольцо  $k$ , т. е.  $\sigma$  и  $\delta$  продолжаются соответственно до автоморфизма кольца  $K$  и его дифференцирования относительно  $\sigma$ . Мы также предположим, что  $\text{Const}_{\sigma, \delta}(K) = \text{Const}_{\sigma, \delta}(k)$ , и будем использовать обозначение  $C$  для этого поля. Заметим, что  $K$  — векторное пространство над  $k$ , и, следовательно, может играть роль  $V$ . Мы будем рассматривать псевдолинейные отображения из  $K$  в  $K$ , предполагая, что соотношения (4) выполнены для любых  $a, u, v \in K$ .

**Лемма 2.3.** Для любого  $c \in K$  отображение  $\theta_c : K \rightarrow K$ , заданное формулой

$$(5) \quad \theta_c(a) = c\sigma(a) + \delta a,$$

$K$ -псевдолинейно относительно  $\sigma$  и  $\delta$ , и  $\theta_c(1) = c$ . Наоборот, для любого  $K$ -псевдолинейного отображения  $\theta$  элемент  $c = \theta(1)$  таков, что отображение  $\theta$  совпадает с  $\theta_c$ , определённым в (5).

Рассмотрим кольцо  $k[\theta]$   $C$ -линейных операторов  $L : K \rightarrow K$  вида  $L = p(\theta)$ ,  $p(x) \in k[x; \sigma, \delta]$ . Соответствие  $p(x) \rightarrow p(\theta)$  даёт нам гомоморфизм колец  $\Theta : k[x; \sigma, \delta] \rightarrow k[\theta]$  благодаря псевдолинейности  $\theta$ . Мы предположим, что

$$(6) \quad p(\theta) \text{ — нулевой оператор на } K \iff p(x) \text{ — нулевой многочлен Оре,}$$

и, как следствие, соответствие  $p(x) \rightarrow p(\theta)$  задаёт изоморфизм колец. Если  $L = p(\theta)$ , то мы положим  $\text{ord } L = \deg p$ .

Иногда удобно рассматривать также кольца  $K[x; \sigma, \delta]$  и  $K[\theta]$ . Мы предположим, что для них выполнено (6).

Легко привести пример, который показывает, что (6) не выполнено в общем случае (скажем,  $K = k = \mathbb{C}$ ,  $\sigma(z) = \bar{z}$ ,  $\delta = 0$ ,  $\theta = \sigma$ ). В предложении 3.2 мы сформулируем простое и естественное достаточное условие выполнения (6).

Как следствие лемм 2.1 и 2.3 мы получаем

**Предложение 2.4.** *Отображение  $\theta$ ,  $K$ -псевдолинейное относительно  $\sigma$  и  $\delta$ , равно  $\delta + \theta(1)$ , если  $\sigma = 1$ , и  $(\theta(1) + \alpha)\sigma - \alpha$ , если  $\sigma \neq 1$ , при этом  $\alpha$  определено в лемме 2.1 (i).*

Условие (6) не выполнено в случае  $\theta(1) + \alpha = 0$  (иначе  $\theta + \alpha = 0$ ), так что мы заключаем, что если  $\sigma \neq 1$ , то  $\theta(1) + \alpha \neq 0$ . Мы дополнительно предположим, что  $\theta(1) + \alpha$  не есть делитель нуля в  $K$  (это выполнено, напр., если  $\theta(1) \in k$  и, как следствие,  $\theta(1) + \alpha \in k$ ).

**Пример 2.3.** Псевдолинейные отображения  $\theta$  и константы  $c = \theta(1)$ :

	Случай	$\theta$	$c$
1	дифференциальный	$\frac{d}{dt}$	0
2	эйлеров дифференциальный	$t \frac{d}{dt}$	0
3	рекуррентный	$E$	1
4	разностный	$E - 1$	0
5	$q$ -рекуррентный	$Q$	1
6	$q$ -разностный	$Q - 1$	0
7	$q$ -дифференциальный	$\frac{Q-1}{t(q-1)}$	0

### 3. СОПРЯЖЁННЫЕ ОПЕРАТОРЫ

**3.1. Оператор  $\nabla$ .** Пусть  $\theta$  — псевдолинейное отображение из  $K$  в  $K$  относительно  $\sigma, \delta$ . Положим  $\nabla = \theta - \theta(1)$ ,  $\nabla \in K[\theta]$ . По предложению 2.4

$$\nabla = \begin{cases} \delta, & \text{если } \sigma = 1, \\ (\theta(1) + \alpha)(\sigma - 1), & \text{если } \sigma \neq 1, \end{cases}$$

а по лемме 2.1 и потому, что  $\theta(1) + \alpha$  не есть делитель нуля, для любого  $f \in K$

$$(7) \quad \nabla(f) = 0, \text{ если и только если } f \in C.$$

Легко вывести отсюда, что при  $L \in K[\theta]$  выполнено  $L(1) = 0$ , если и только если существует  $M \in K[\theta]$ , для которого  $L = M\nabla$ . Учитывая вдобавок то, что  $L(f) = (Lf)(1)$ , и условие (6), мы получаем

**Предложение 3.1.** Пусть  $p \in K[x; \sigma, \delta]$ ,  $L = p(\theta)$ ,  $f \in K$ . Тогда  $L(f) = 0$ , если и только если существует  $M \in K[\theta]$ , для которого  $Lf = M\nabla$ , т. е. если и только если  $pf$  делится справа на  $x - \theta(1)$ .

Пусть  $c = \theta(1)$  и  $p \in K[x; \sigma, \delta] \setminus \{0\}$ ,  $\deg p = d$ , тогда существует неотрицательное целое  $n$ , для которого  $p = (b_{d-n}(x-c)^{d-n} + \dots + b_1(x-c) + b_0)(x-c)^n$ , где  $b_0, \dots, b_{d-n} \in K$ ,  $b_0 \neq 0$ . Это даёт нам

**Предложение 3.2.** Предположим, что для любого неотрицательного целого  $n$  существует  $f \in K$ , для которого  $\nabla^n(f) \in C \setminus \{0\}$ . Тогда (6) выполнено для любого  $p \in K[x; \sigma, \delta]$ .

**Пример 3.1.** Продолжение примера 2.3:

	Случай	$\nabla$
1	дифференциальный	$\frac{d}{dt}$
2	эйлеров дифференциальный	$t \frac{d}{dt}$
3	рекуррентный	$E - 1$
4	разностный	$E - 1$
5	$q$ -рекуррентный	$Q - 1$
6	$q$ -разностный	$Q - 1$
7	$q$ -дифференциальный	$\frac{Q-1}{t(q-1)}$

**3.2. Сопряжённые операторы и интегрирующие множители.** По лемме 2.3  $\theta = \theta_c = c\sigma + \delta$ , где  $c = \theta(1)$ . Положим  $\theta^* = c\sigma^* + \delta^*$ , где  $\sigma^*, \delta^*$  — как в (3). Заметим, что  $\theta(1) = c = \theta^*(1)$ .

**Определение 3.1.** Пусть  $k[x; \sigma, \delta]$  — кольцо Оре,  $\theta$  — псевдолинейное отображение относительно  $\sigma, \delta$ . Сопряжённое к  $k[\theta]$  кольцо определяется как кольцо операторов  $k[\theta^*]$ . Если  $p \in k[x; \sigma, \delta]$  и  $L = p(\theta)$ , то сопряжённый к  $L$  оператор определяется как  $L^* = p^*(\theta^*) \in k[\theta^*]$ .

Имеем  $(LM)^* = M^*L^*$  для любых  $L, M \in k[\theta]$ . Если мы предположим, что (6) выполнено для  $K[x; \sigma^*, \delta^*]$  и  $K[\theta^*]$ , то вдобавок  $(L^*)^* = L$  для любого  $L \in k[\theta]$ .

Рассмотрим оператор  $\nabla^* = \theta^* - \theta(1) = \theta^* - \theta^*(1)$ . По предложению 3.1  $L^*(f) = 0$ , если и только если существует  $M \in K[\theta^*]$ , для которого  $L^*f = M\nabla^*$ , т. е.  $fL = \nabla M^*$ . Это даёт нам

**Предложение 3.3.** Пусть  $p \in K[x; \sigma, \delta]$ ,  $L = p(\theta)$ ,  $f \in K$ . Тогда  $L^*(f) = 0$ , если и только если существует  $N \in K[\theta]$ , для которого  $fL = \nabla N$ , т. е. если и только если  $fp$  делится слева на  $x - \theta(1)$ .

Предложения 3.1 и 3.3 представляют собой аналог теоремы Безу для алгебраических уравнений с одним неизвестным.

**Пример 3.2.** Продолжение примеров 2.2 и 2.3:

	Случай	$\theta^*$	$\nabla^*$
1	дифференциальный	$-\frac{d}{dt}$	$-\frac{d}{dt}$
2	эйлеров дифференциальный	$-t\frac{d}{dt}$	$-t\frac{d}{dt}$
3	рекуррентный	$E^{-1}$	$E^{-1} - 1$
4	разностный	$E^{-1} - 1$	$E^{-1} - 1$
5	$q$ -рекуррентный	$Q^{-1}$	$Q^{-1} - 1$
6	$q$ -разностный	$Q^{-1} - 1$	$Q^{-1} - 1$
7	$q$ -дифференциальный	$\frac{Q^{-1}-1}{t(q-1)}$	$\frac{Q^{-1}-1}{t(q-1)}$

Естественно назвать *интегрирующим множителем* для  $L$  любой  $f \in K$ , для которого  $fL = \nabla N$ ,  $N \in K[\theta]$ . Предложение 3.3 — аналог классической теоремы из теории обыкновенных дифференциальных уравнений, но формулировка этого предложения дана в общей “форме Оре”.

**Пример 3.3.** Пусть  $k = \mathbb{C}(n)$ ,  $\sigma = \theta = E$ ,  $\delta = 0$ ,  $\nabla = E - 1$ ,  $K$  — кольцо последовательностей с элементами из  $\mathbb{C}$ . Рассмотрим оператор

$$L = (n+4)E^2 + E - (n+1) \in k[\theta].$$

Соответствующее сопряжённое уравнение  $L^*(f) = 0$  — это

$$(8) \quad L^*(f) = -(n+1)f(n) + f(n-1) + (n+2)f(n-2) = 0.$$

Если интегрирующий множитель  $f$  для  $L$  является гипергеометрическим термом, то его можно найти, применяя алгоритм Нурег [28] к (8); это применение проходит успешно и даёт  $f = (-1)^n$ . Как следствие,

$$(-1)^n L = (E - 1)((-1)^{n-1}(n + 3)E + (-1)^n(n + 1)).$$

**3.3. Аккуратное интегрирование.** Элемент  $g \in K$  — *первообразный* для  $f \in K$ , если  $\nabla(g) = f$ . Предположим, что  $\theta(1) \in k$  (т. е.  $\nabla \in k[\theta]$ ) и рассмотрим следующую задачу: пусть заданы  $f \in K$  и минимальный аннулирующий оператор  $L \in k[\theta]$  для  $f$  (значение  $n = \text{ord } L$  — минимальное с тем свойством, что  $L \in k[\theta]$  и  $L(f) = 0$ ). Определить, существует ли такой первообразный элемент  $g$  элемента  $f$ , для которого минимальный аннулирующий оператор  $\tilde{L}$  имеет порядок  $n$ . Если это так, то построить такой  $g$  и его минимальный аннулирующий оператор.

Эта задача (задача *Аккуратного интегрирования*) была решена в [3]. Сопряжённые операторы играют ключевую роль в решении. Мы приводим ниже краткое описание алгоритма. Заметим, что в [3] описание дано в двух (главных) случаях:  $\sigma = 1, \theta = \delta$  и  $\theta = \sigma - 1, \delta = 0$ . Если задача имеет положительное решение (существует оператор  $\tilde{L}$  порядка  $n$ ), то алгоритм строит  $r \in k[\theta]$ ,  $\text{ord } r = n - 1$ , для которого  $g = r(f)$ , вместе с  $\tilde{L}$ .

В [3] было показано, что  $\tilde{L}$ , для которого  $\text{ord } \tilde{L} = n$ , существует, если и только если уравнение  $L^*(y) = 1$  имеет решение  $l$  в  $k$ . В этом случае  $r$  таково, что  $1 - lL = \nabla r$  (так что  $r$  можно найти левым делением) и  $\tilde{L} = 1 - r\nabla$ . Если такого  $l$  не существует, то интегрирующий оператор  $r$  также не существует, в то время как минимальный аннулирующий оператор  $\tilde{L}$  для  $g$  равен  $L\nabla$ ,  $\text{ord } \tilde{L} = n + 1$ .

Как замечено в [3], этот алгоритм обобщает алгоритм Госпера для неопределённого гипергеометрического суммирования [14] в двух смыслах: (а) он решает аналогичную задачу для более широкого класса уравнений, (б) он работает для любого порядка  $n$ , а не только для  $n = 1$ .

**Пример 3.4.** Мы покажем в этом примере использование аккуратного интегрирования в вычислении первообразных для выражений, включающих в себя присоединённые функции Лежандра первого и второго рода:

$$p_1 = (27t^2 + 4)^{5/4} \mathcal{P}_{2/3\sqrt{7}-1/2}^{5/2} \left( -\frac{3}{2}\sqrt{3}it \right),$$

$$p_2 = (27t^2 + 4)^{5/4} \mathcal{Q}_{2/3\sqrt{7}-1/2}^{5/2} \left( -\frac{3}{2}\sqrt{3}it \right).$$

Как  $p_1$ , так и  $p_2$  аннулируются дифференциальным оператором

$$L = (27t^2 + 4)D^2 - 81tD + 24.$$

Соответствующее сопряжённое уравнение  $L^*(y) = 1$  — это

$$(27t^2 + 4) \frac{d^2}{dt^2}y(t) + 189t \frac{d}{dt}y(t) + 159y(t) = 1,$$

оно имеет рациональное решение  $l = 1/159$  (решения, имеющие вид рациональных функций, могут быть найдены алгоритмом из [1]). Значит, оператор  $r \in k[\theta]$ , для которого  $\int p_1 dt = r(p_1)$  и  $\int p_2 dt = r(p_2)$ , — это левое частное от деления  $1 - lL$  на  $\nabla$ , которое равно

$$\left( -\frac{9}{53}t^2 - \frac{4}{159} \right) D + \frac{45}{53}t.$$

Заметим, что ни Maple 8, ни Mathematica 4 не могут вычислить два этих неопределённых интеграла.

#### 4. НОВЫЕ МОДУЛЯРНЫЕ МЕТОДЫ ВЫЧИСЛЕНИЯ **gcd** И **lcm**

Обычное коммутативное кольцо многочленов  $k[x]$  — это частный случай колец многочленов Ore. Многие эффективные методы для коммутативного случая были обобщены на некоммутативные  $k[x; \sigma, \delta]$  (см. [15, 19, 20, 12]). В этом разделе мы предлагаем новые модулярные методы вычисления **gcd** и **lcm** многочленов Ore. Для применения модулярных методов требуются небольшие ограничения на поле коэффициентов. Пусть  $\mathbb{D}$  — либо кольцо целых чисел  $\mathbb{Z}$ , либо кольцо многочленов от нескольких переменных над  $\mathbb{Z}$ . Пусть  $t$  — новая переменная над  $\mathbb{D}$ , а  $\mathbb{D}[t]$  — кольцо обычных коммутативных многочленов от  $t$  над  $\mathbb{D}$ . Мы будем работать в кольце Ore  $\mathbb{D}[t][x; \sigma, \delta]$ , у которого кольцо констант содержит  $\mathbb{D}$ . Заметим, что  $\sigma$  — автоморфизм  $\mathbb{D}[t]$ .

**4.1. Вычисление gcd.** Пусть  $p$  простое. Гомоморфизм колец  $\phi_p$  из  $\mathbb{D}[t]$  в  $\mathbb{Z}_p[t]$  называется *модулярным относительно  $\sigma$* , если  $\phi_p(\mathbb{D}) = \mathbb{Z}_p$ ,  $\phi_p(t) = t$  и  $\deg_t(\sigma(t)) = \deg_t \phi_p(\sigma(t))$ . Определим автоморфизм  $\sigma_p$  на  $\mathbb{Z}_p[t]$  как переводящий  $t$  в  $\phi_p(\sigma(t))$ , а любой элемент  $\mathbb{Z}_p$  — в себя. Далее, определим аддитивное отображение  $\delta_p$  из  $\mathbb{Z}_p[t]$  в себя как переводящее  $t^n$  в  $\phi_p(\delta(t^n))$  при  $n \in \mathbb{N}$ . Непосредственно проверяется, что диаграммы

$$\begin{array}{ccc} \mathbb{D}[t] & \xrightarrow{\sigma} & \mathbb{D}[t] & & \mathbb{D}[t] & \xrightarrow{\delta} & \mathbb{D}[t] \\ \downarrow \phi_p & & \downarrow \phi_p & & \downarrow \phi_p & & \downarrow \phi_p \\ \mathbb{Z}_p[t] & \xrightarrow{\sigma_p} & \mathbb{Z}_p[t] & & \mathbb{Z}_p[t] & \xrightarrow{\delta_p} & \mathbb{Z}_p[t] \end{array}$$

коммулативны и что  $\mathbb{Z}_p[t][x, \sigma_p, \delta_p]$  — кольцо Ore. Модулярный гомоморфизм  $\phi_p$  можно продолжить до отображения из  $\mathbb{D}[t][x, \sigma, \delta]$  в  $\mathbb{Z}_p[t][x, \sigma_p, \delta_p]$ , переводящего  $\sum_i a_i x^i$  в  $\sum_i \phi_p(a_i) x^i$ , где  $a_i \in \mathbb{D}[t]$ . Это продолженное отображение также будет обозначаться  $\phi_p$ , и то, что оно является гомоморфизмом колец, устанавливается прямой проверкой.

Пусть  $e$  — элемент  $\mathbb{Z}_p$ . Под отображением вычисления  $\psi_e$  из  $\mathbb{Z}_p[t]$  в  $\mathbb{Z}_p$  мы понимаем отображение, которое переводит  $\sum_i m_i t^i$  в  $\sum_i m_i e^i$ , где  $m_i \in \mathbb{Z}_p$ . Такое отображение вычисления можно продолжить до отображения из  $\mathbb{Z}_p[t][x, \sigma_p, \delta_p]$  в  $\mathbb{Z}_p[x]$ , переводящего  $\sum_i a_i x^i$  в  $\sum_i \psi_e(a_i) x^i$ , где  $a_i \in \mathbb{Z}_p[t]$ . Это продолженное отображение снова обозначается  $\psi_e$ .

**Пример 4.1.** Рассмотрим дифференциальное кольцо  $D = \mathbb{Z}_p[t][x; 1, \frac{d}{dt}]$  и отображение вычисления  $\psi_e$ . Если  $\psi_e$  — гомоморфизм колец из  $D$  в  $\mathbb{Z}_p[x]$  с как-либо определённым умножением, то тогда  $\psi_e(xt) = \psi_e(tx + 1) = ex + 1$ , и, с другой стороны,

$$\psi_e(xt) = \psi_e(x)\psi_e(t) = xe = x \underbrace{(1 + \dots + 1)}_{e \text{ раз}} = ex.$$

Это приводит к противоречию.

Итак, как бы мы ни определили умножение в  $\mathbb{Z}_p[x]$ ,  $\psi_e$  обычно не является гомоморфизмом колец. Это лишь гомоморфизм модулей (гомоморфизм левого модуля  $\mathbb{Z}_p[t][x]$  над  $\mathbb{Z}_p[t]$  в  $\mathbb{Z}_p[t]$  над  $\mathbb{Z}_p$ ).

Ключевая задача в модулярных gcd-методах — это

*Задача E.* По данным  $P_1, P_2$  в  $\mathbb{Z}_p[t][x, \delta_p, \sigma_p]$  и отображению вычисления  $\psi_e$  вычислить образ  $\text{gcd}(P_1, P_2)$  под действием  $\phi_e$ .

Алгоритм  $\text{GCRD}_e$ , описанный в [20], решает задачу E. Пусть  $\deg P_i = n_i$ ,  $i = 1, 2$ ,  $n = \max(n_1, n_2)$ ,  $n_t = \max(\deg_t P_1, \deg_t P_2)$  и  $G = \text{gcd}(P_1, P_2)$  имеет степень  $g$ . Число  $\psi_e$ , для которых  $\text{GCRD}_e$  выдаёт неправильные образы или ошибку, не превосходит  $(n_1 + n_2)n_t$ . Следовательно,  $\text{GCRD}_e$  выдаёт достаточно много правильных образов для процесса комбинирования, когда простое  $p$  достаточно велико. Сложность  $\text{GCRD}_e$  близка к  $(n_t n^2 + n^3)$  в дифференциальном случае. Слагаемое  $n^3$  происходит из редукции строк в матрице Сильвестра для  $P_1$  и  $P_2$ , в которой  $(n_1 + n_2)$  строк и  $(n_1 + n_2)$  столбцов. Мы изложим улучшенный вариант алгоритма  $\text{GCRD}_e$ , сложность которого ограничена сверху величиной  $(n_t(n - g)^2 + (n - g)^3)$ . Это улучшение позволяет нашему модулярному методу для  $\text{gcd}$  эффективно работать, когда  $g$  велико. В общих чертах, улучшенный алгоритм — это тщательно спланированный процесс редукции строк в матрице, ассоциированной с  $\text{sres}_{g-1}(P_1, P_2)$ , в которой  $n_1 + n_2 - 2(g - 1)$  строк и  $n_1 + n_2 - g + 2$  столбцов.

Чтобы описать улучшение, условимся о терминологии. Мы отсылаем читателя к [19] за определением субрезультантов  $P_1$  и  $P_2$  и связанными с этим обозначениями. Напомним, что  $m$ -й субрезультант  $P_1$  и  $P_2$  обозначается  $S_m$  для  $m = n_2, n_2 - 1, \dots, 0$ . Пара последовательных субрезультантов  $S_m$  и  $S_{m+1}$  называется *gcd-парой*  $P_1$  и  $P_2$  с индексом  $m$ , если  $\deg S_m = m$  и  $S_{m+1} = 0$ . Непосредственно из теоремы 4.2 работы [19] и структуры пропусков в цепочке субрезультантов следует

**Предложение 4.1.** Пусть  $P_1, P_2$  в  $\mathbb{Z}_p[t][x, \delta_p, \sigma_p]$  имеют степени  $n_1$  и  $n_2$  соответственно, где  $n_1 \geq n_2 > 0$ . Тогда  $P_1$  и  $P_2$  имеют gcd-пару, если и только если  $\text{gcd}$   $P_1$  и  $P_2$  имеет положительную степень. Если gcd-пара существует, то она единственна.

При заданной последовательности

$$(9) \quad x^{n_2-1}P_1, \dots, xP_1, P_1, x^{n_1-1}P_2, \dots, xP_2, P_2,$$

КОЛЬЦА МНОГОЧЛЕНОВ ORE ОДНОЙ ПЕРЕМЕННОЙ В КОМПЬЮТЕРНОЙ АЛГЕБРЕ

отображение вычисления  $\psi_e$  называется *собственным* относительно  $P_1$  и  $P_2$ , если

$$\deg \psi_e(x^i P_1) = (n_1 + i) \quad \text{при } i = 0, \dots, (n_2 - 1) \text{ и}$$

$$\deg \psi_e(x^j P_2) = (n_2 + j) \quad \text{при } j = 0, \dots, (n_1 - 1).$$

Собственное относительно  $P_1$  и  $P_2$  отображение  $\psi_e$  называется *неудачным*, если  $\deg \psi_e(S_m) < \deg S_m$  для некоторого ненулевого  $S_m$ . Заметим, что это определение менее ограничительно, чем определение неудачных отображений вычисления в [20]. Пара образов последовательных субрезультантов  $S_m$  и  $S_{m+1}$  под действием  $\psi_e$  называется *псевдо-gcrd-парой с индексом  $m$* , если  $\deg \psi_e(S_m) = m$  и  $\psi_e(S_{m+1}) = 0$ .

**Предложение 4.2.** Пусть  $P_1, P_2 \in \mathbb{Z}_p[t][x, \delta_p, \sigma_p]$  имеют степени  $n_1$  и  $n_2$  соответственно,  $n_1 \geq n_2 > 0$ . Пусть  $G$  — унитарный gcrd для  $P_1$  и  $P_2$  степени  $g$ . Пусть  $\psi_e$  — собственное относительно  $P_1$  и  $P_2$  отображение вычисления. Тогда

- (1) Если  $\psi_e$  не неудачно и  $g$  положительно, то  $(\psi_e(S_g), \psi_e(S_{g-1}))$  — единственная псевдо-gcrd-пара для  $P_1$  и  $P_2$  под действием  $\psi_e$  и  $\psi_e(G)$  — унитарный многочлен, ассоциированный с  $\psi_e(S_g)$ .
- (2) Если  $\psi_e$  не неудачно и  $g$  нулевое, то у  $P_1$  и  $P_2$  нет псевдо-gcrd-пар и  $\psi_e(S_0)$  ненулевой.
- (3) Если  $\psi_e$  неудачно и у  $P_1, P_2$  есть псевдо-gcrd-пара  $(\psi_e(S_m), \psi_e(S_{m+1}))$ , то  $m \geq g$ . В этом случае  $m = g$ ,  $\psi_e(G)$  — по-прежнему унитарный многочлен, ассоциированный с  $\psi_e(S_g)$ .

*Доказательство.* Первое и второе утверждения следуют из предложения 4.1 и того факта, что  $\psi_e$  отображает цепочку субрезультантов  $P_1$  и  $P_2$  с сохранением степени. Последнее же следует из того, что  $\text{sres}_{g-1}(P_1, P_2) = \text{sres}_{g-2}(P_1, P_2) = \dots = \text{sres}_0(P_1, P_2) = 0$ .  $\square$

Для данных последовательности (9) и собственного относительно  $P_1$  и  $P_2$  отображения вычисления  $\psi_e$  мы ищем псевдо-ggcd-пару в последовательности  $\psi_e(P_2)$ ,  $\psi_e(S_{n_2-1})$ ,  $\psi_e(S_{n_2-2})$ ,  $\psi_e(S_0)$ . Пусть  $M_{n_2-1}$  — ассоциированная с  $S_{n_2-1}$  матрица. Вычисляем  $H_{n_2-1} = \psi_e(S_{n_2-1})$  гауссовым исключением в строках  $\psi_e(M_{n_2-1})$ . Если  $H_{n_2-1} = 0$ , то мы получаем псевдо-ggcd-пару  $(\psi_e(P_2), H_{n_2-1})$  и возвращаем унитарный многочлен, ассоциированный с  $\psi_e(P_2)$ . В противном случае полагаем  $d = \deg H_{n_2-1}$ .

По теореме 4.2 из [19] нам надо вычислить только  $H_d = \psi_e(S_d)$ . Если степень  $H_d$  меньше  $d$ , то  $\psi_e$  неудачно, выдаём сообщение об ошибке. Иначе мы вычисляем  $H_{d-1} = \psi_e(S_{d-1})$  гауссовым исключением в строках матрицы, ассоциированной с  $\psi_e(S_{d-1})$ . Если  $H_{d-1} = 0$ , мы получаем псевдо-ggcd-пару  $(H_d, H_{d-1})$  и возвращаем унитарный многочлен, ассоциированный с  $H_d$ . Иначе заменяем  $d$  на  $\deg H_{d-1}$  и повторяем процесс. Если псевдо-ggcd-пар не найдено, мы в конце концов вычислим  $H_0 = \psi_e(S_0)$ . Если  $H_0 \neq 0$ , то возвращаем 1 (в этом случае  $P_1$  и  $P_2$  имеют тривиальный gcd). Иначе сообщаем об ошибке (в этом случае значение  $e$  — неудачное).

Описанный выше процесс может выдать либо унитарный многочлен  $H$  положительной степени из  $\mathbb{Z}_p[x]$ , либо 1, либо сообщение об ошибке. В первом случае  $H$  — либо образ  $G$  под действием  $\psi_e$ , либо  $\deg H > g$ , что означает, что  $\psi_e$  неудачно, по предложению 4.2. Во втором случае  $G$  тривиален. В последнем случае  $\psi_e$  неудачно. Есть не более  $n_2^2(n_1 + n_2)n_t$  неудачных отображений вычисления. Так как матрица  $M_i$ , ассоциированная с  $S_i$ , — подматрица в матрице  $M_j$ , ассоциированной с  $S_j$  при  $i > j$ , результаты, полученные при гауссовом исключении в  $M_i$ , можно повторно использовать при гауссовом исключении в  $M_j$ . Таким образом, сложность вычисления  $\psi_e(S_{n_2-1})$ ,  $\psi_e(S_{n_2-2})$ ,  $\dots$ ,  $\psi_e(S_{g-1})$  та же, что и сложность вычисления  $\psi_e(S_{g-1})$  гауссовым исключением. Последняя сложность ограничена выражением  $(n_t(n-g)^2 + (n-g)^3)$ , в котором  $n_t(n-g)^2$  — сложность вычисления  $\psi_e(M_{g-1})$ , а  $(n-g)^3$  — сложность гауссовых исключений в  $M_{g-1}$  для дифференциального случая. Использование описанного выше метода вместо GCRD\_е дает нам общее улучшение модулярного метода поиска gcd при  $g$  близком к  $n_2$ .

**Эксперимент 1.** Для вычисления  $\text{gcd}$  двух данных многочленов Ore  $p_1$  и  $p_2$  реализованы три разных метода: Евклида, без использования дробей и модулярный. Эвристически выбирается один из этих трёх методов на основании догадок о степени  $\text{gcd}(p_1, p_2)$ .

Таблица 1 показывает сравнительное время работы в нашем эксперименте <sup>1</sup>. Случайно порождается 10 пар многочленов в дифференциальном кольце. На каждую пару многочленов  $p_1$  и  $p_2$  наложены следующие ограничения:

$$\deg p_1, \deg p_2 \leq 17, \quad \deg \text{gcd}(p_1, p_2) \geq 2.$$

В таблицу также включено время, потраченное функцией `DEtools[GCRD]`.

ТАБЛИЦА 1. Вычисление  $\text{gcd}$ : время (в секундах) для разных методов.

	Евклида	Без дробей	Модулярный	Эвристический	DEtools
1	65.72	27.09	16.57	16.94	33.30
2	184.96	56.11	28.64	29.44	49.85
3	168.88	103.03	31.87	32.10	55.60
4	221.47	166.94	43.09	43.89	70.11
5	25.06	22.58	21.43	22.14	14.94
6	65.61	53.16	33.70	31.92	30.27
7	123.79	79.32	40.87	41.96	37.97
8	148.57	68.68	33.89	35.05	52.83
9	28.71	14.76	15.42	15.63	15.79
10	120.57	85.44	27.54	28.65	59.24

Если  $\text{gcd}(p_1, p_2)$  тривиален, то модулярный метод заметно быстрее, чем любой немодулярный метод, потому что модулярный метод может обнаружить, что  $p_1$  и  $p_2$  взаимно просты, удачным модулярным гомоморфизмом и удачным отображением вычисления. Если  $\text{gcd}(p_1, p_2)$  нетривиален, экспериментальные результаты показывают, что эффективность модулярного метода зависит от следующих факторов:

- сколько делений требуется для вычисления  $\text{gcd}(p_1, p_2)$  в правом алгоритме Евклида;

<sup>1</sup>Все приведённые времена были получены на 400MHz SUN SPARC SOLARIS с 1Gb RAM.

- сколь “прост”  $\text{gcd}(p_1, p_2)$ .

Под “простотой” мы подразумеваем, что коэффициенты имеют низкие степени и короткие целые коэффициенты. Чем больше надо делений, тем больше работы проделают немодулярные методы. Чем проще  $\text{gcd}(p_1, p_2)$ , тем меньше образцов надо для восстановления настоящего  $\text{gcd}$  в модулярном методе. При любых входных данных модулярный метод не приводит к разбуханию каких-либо промежуточных выражений.

**4.2. Вычисление  $\text{lclm}$ .** Применим модулярную технику к вычислению  $\text{lclm}$ . Пусть  $P_1, \dots, P_m$  из  $\mathbb{D}[t][x; \sigma, \delta]$  имеют соответственно положительные степени  $d_1, \dots, d_m$ . Пусть  $L = \text{lclm}(P_1, \dots, P_m)$ . Чтобы вычислить  $L$ , можно сначала вычислить  $L_{12} = \text{lclm}(P_1, P_2)$ , а затем вычислить  $\text{lclm}(L_{12}, P_3, \dots, P_m)$  рекурсивно (по  $m$ ). Этот “многошаговый” алгоритм не очень хорошо работает на практике, отчасти потому, что коэффициенты промежуточных  $\text{lclm}$  обычно гораздо сложнее, чем у  $P_i$ .

Процедура *LCLM* в Maple-пакете *DEtools*, написанная ван Хоие, даёт прямой метод вычисления  $\text{lclm}$  нескольких многочленов Ore. Этот метод работает следующим образом. Пусть

$$d = d_1 + \dots + d_m \quad \text{и} \quad Q_d = q_d x^d + \dots + q_0,$$

где  $q_0, \dots, q_d$  — произвольные коэффициенты. Для  $i = 1, \dots, m$  вычисляется правый остаток  $R_i$  от деления  $Q_d$  на  $P_i$ . Ясно, что  $Q_d$  — общее левое кратное  $P_1, \dots, P_m$  степени не выше  $d$ , если и только если  $R_1 = \dots = R_m = 0$ . Это приводит к линейной однородной алгебраической системе

$$(10) \quad (q_0, \dots, q_d)M_d = 0,$$

где  $M$  —  $((d+1) \times d)$ -матрица над  $k$ . Для удобства мы будем говорить, что

$$\tilde{Q}_d = \tilde{q}_d x^d + \dots + \tilde{q}_0$$

из  $\mathbb{D}[t][x; \sigma, \delta]$  — решение (10), если  $(\tilde{q}_0, \dots, \tilde{q}_d)$  — решение системы (10); таким образом,  $L$  — ненулевое решение (10) наименьшей степени.

Итак, чтобы найти  $L$ , надо найти решение (10) наименьшей степени ( $\deg L$  может быть меньше  $d$ ).

**Предложение 4.3.** *Значение  $\deg L$  равно рангу  $M_d$  из (10).*

*Доказательство.* Пусть  $\deg L = l$ . Поскольку  $l \leq d$ , все  $L, xL, \dots, x^{d-l}L$  являются решениями (10). Итак, пространство решений (10) имеет размерность не меньше  $(d+1-l)$ . С другой стороны, любое ненулевое решение  $\tilde{Q}_d$  уравнения (10) — общее левое кратное  $P_1, \dots, P_m$  степени не выше  $d$ , так что правый остаток от деления  $\tilde{Q}_d$  на  $L$  равен нулю, то есть  $\tilde{Q} — k$ -линейная комбинация  $L, xL, \dots, x^{d-l}L$ . Значит, пространство решений (10) имеет размерность  $(d+1-l)$ . Следовательно, ранг  $M_d$  равен  $d$ .  $\square$

Для вычисления  $L$  мы, во-первых, строим матрицу  $M_d$ , заданную (10). Во-вторых, применяем модулярное отображение и отображение вычисления к элементам  $M_d$ , чтобы получить матрицу  $M'_d$  над  $\mathbb{Z}_p$ . В-третьих, вычисляем ранг  $r$  для  $M'_d$ . В-четвёртых, полагаем

$$Q_r = q_r x^r + \dots + q_0,$$

где  $q_0, \dots, q_r$  — неопределённые коэффициенты. Для  $i = 1, \dots, m$  вычисляем правый остаток  $R_i$  от деления  $Q_r$  на  $P_i$ . Условие  $R_1 = \dots = R_m = 0$  даёт линейную однородную алгебраическую систему

$$(11) \quad (q_0, \dots, q_r)M_r = 0.$$

Любое нетривиальное решение (11) соответствует  $\text{lclm}(P_1, \dots, P_m)$ , потому что  $r \leq \deg L$  по предложению 4.3. Если (11) имеет только тривиальное решение, то заменяем  $r$  на  $(r+1)$  и повторяем четвёртый шаг. Так как  $r$  почти всегда равно рангу  $M_d$ , то на практике, скорее всего, не возникнет необходимости повторения четвёртого шага. Мы будем ссылаться на этот метод как на “одношаговый” метод.

**Эксперимент 2.** Множество испытаний, связанных с вычислением  $\text{lclm}$ , состоит из 10 троек многочленов в дифференциальном кольце. На каждую тройку многочленов  $p_1, p_2$  и  $p_3$  мы накладываем следующие ограничения:

$$\deg p_1 = \deg p_2 = 5, \quad \deg \text{gcd}(p_1, p_2) = 2, \quad \deg p_3 = 3.$$

Таблица 2 показывает сравнение времени работы многошагового и одношагового метода. Мы также включаем время для функции `DEtools[LCLM]`.

Заметим, что если  $\deg \text{lcm}(p_1, p_2, p_3) = \deg p_1 + \deg p_2 + \deg p_3$ , то время для одношагового метода и `DEtools[LCLM]` примерно одинаково.

ТАБЛИЦА 2. Вычисление `lcm`: время (в секундах) для разных методов.

	Многошаговый	Одношаговый	DEtools
1	114.53	25.99	87.48
2	147.36	24.28	107.60
3	111.95	33.36	105.33
4	124.15	30.41	84.41
5	128.65	30.76	102.63
6	144.56	29.35	103.03
7	96.84	18.60	61.73
8	115.08	28.36	92.74
9	140.59	21.18	122.81
10	123.97	16.13	62.31

Мы завершаем этот раздел рассмотрением вычислений `lcm` в прямом алгоритме вычисления минимального телескопирующего оператора для рациональной функции [18]. Рассмотрим рациональную функцию  $R(n, k) = R_1 + R_2 + R_3$ , где

$$\begin{aligned}
 R_1 &= \frac{n+1}{(2n+5k+3)^2} + \frac{n}{(2n+5k+5)^2}, \\
 R_2 &= \frac{n+2}{3n+4k+4} - \frac{3}{3n+4k-2}, \\
 R_3 &= \frac{(n-3)^2}{n-7k+5} + \frac{1}{n-7k+6}.
 \end{aligned}$$

Вычисленные минимальные телескопирующие операторы  $L_1$  для  $R_1$ ,  $L_2$  для  $R_2$  и  $L_3$  для  $R_3$  равны

$$\begin{aligned}
L_1 &= \text{OrePoly}((n+5)(n+4)(n+3)(n+2)(2n+7), 5(n+5)(n+4)(n+3), \\
&\quad -5(n+5)(n+4)(n+1), 5(n+5)(n+2)(n+1), \\
&\quad -5(n+3)(n+2)(n+1), -(2n+5)(n+4)(n+3)(n+2)(n+1)), \\
L_2 &= \text{OrePoly}(-n^2 - 10n - 15, 0, -12, 0, n^2 + 6n - 1), \\
L_3 &= \text{OrePoly}(n^{14} + 14n^{13} + 63n^{12} + 28n^{11} - 553n^{10} - 1218n^9 + 929n^8 + \\
&\quad 4984n^7 + 1848n^6 - 6496n^5 - 4592n^4 + 2688n^3 + 2304n^2 + 1, \\
&\quad -7(2n+1)(n-1)^2(n+3)^2(n+2)^2(n+1)^2n^2, 7(2n+1)(n+3)^2 \\
&\quad (n+2)^2(n+1)^2n^2, -7(2n+1)(n+3)^2(n+2)^2(n+1)^2, \\
&\quad 7(2n+1)(n+3)^2(n+2)^2, -7(2n+1)(n+3)^2, 14n+7, \\
&\quad -n^{14} + 28n^{12} - 294n^{10} + 1444n^8 - 3409n^6 + 3528n^4 - 1296n^2 - 1)
\end{aligned}$$

(о представлении многочленов Ore см. раздел 5.2). Минимальный телескопирующий оператор  $L$  для рациональной функции  $R$  равен  $\text{lclm}(L_1, L_2, L_3)$ . Если воспользоваться одношаговым методом, то это вычисление  $L$  займёт 6.28 сек., использование многошагового метода потребует 273.90 сек.

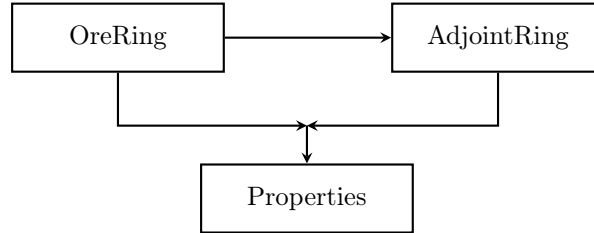
## 5. ПАКЕТ OreTools

Основная цель пакета **OreTools** — предоставить простейшие операции в заданном кольце Ore и упростить дальнейшую разработку алгоритмов различных вычислений в кольцах Ore. Пакет интегрирован в Maple. В частности, он используется (а) как основа пакета **LinearOperators**, включающего функции вычисления минимальных полностью факторизуемых аннуляторов [5], и для вычисления даламберовых решений неоднородных линейных функциональных уравнений [6]; (б) в пакете **SumTools** [2] для эффективного прямого вычисления минимальных  $Z$ -пар рациональных функций [18], для вычисления бесконечных сумм методом аккуратного интегрирования и (в) в пакете **Slode** [29] для нахождения формальных решений линейных однородных дифференциальных уравнений в виде рядов с даламберовыми коэффициентами.

В этом разделе мы даём обзор пакета `OreTools`. Детальное обсуждение предлагаемых возможностей и детали реализации см. в [4]. Ранняя версия пакета `OreTools` описывалась в [5, Разд. 6]. Код этой версии был разработан Е.В.Зимой.

**5.1. Определение кольца Ore и сопряжённого к нему; работа с параметрами этих колец.** На рисунке 1 представлено множество функций, которые помогают определить кольцо Ore и кольцо, сопряжённое к данному кольцу Ore (которое само является кольцом Ore), а также функции для работы с параметрами кольца Ore.

Рис. 1. Определение кольца Ore и работа с его параметрами



Кольцо Ore от одной переменной определяется посредством функции `SetOreRing`. Предопределены *дифференциальное* кольцо, кольцо со *сдвигом* и с *q-сдвигом*. Чтобы определить другие кольца, нужно задать процедуры вычисления  $\sigma, \delta, \theta(1)$  и  $\sigma^{-1}$ .

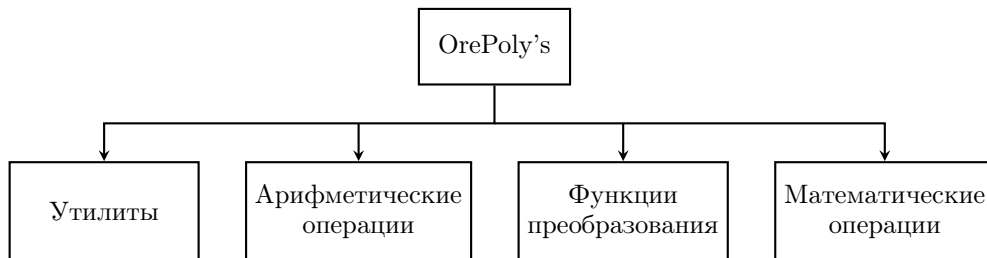
Сопряжённое к данному кольцу Ore определяется функцией `AdjointRing`. Её вход — кольцо Ore, а выход — сопряжённое к нему.

Со свойствами данного кольца Ore, напр.,  $\sigma, \sigma^{-1}, \theta(1), \delta$ , можно работать в подмодуле `Properties`.

**5.2. Средства работы с многочленами Ore.** Многочлен Ore представляется структурой `OrePoly`. Она состоит из ключевого слова `OrePoly` с последовательностью коэффициентов, начинающейся со степени нуль. Например, в дифференциальном случае с дифференциальным оператором  $D$  `OrePoly(2/t, t, t + 1, 1)` представляет оператор  $2/t + tD + (t + 1)D^2 + D^3$ .

На рисунке 2 представлены основные средства работы с многочленами Ore. Их можно разделить на четыре группы: утилиты, арифметические операции, функции преобразования и математические операции.

Рис. 2. Средства работы с многочленами Ore



Утилиты включают функции для таких действий с многочленами Ore, как, напр., нахождение старшего и младшего коэффициентов или степени данного многочлена Ore.

Основные арифметические операции над многочленами Ore включают

- (1) линейные операции: сложение, вычитание, умножение на скаляр;
- (2) операции по нормализации: вычисление содержания, примитивной части, левого и правого унитарных ассоциированных;
- (3) умножение, деления (левые и правые остатки и частные);
- (4) левый и правый gcd, lcm, расширенный gcd и gcd, зависящий от параметра [13].

Функции преобразования играют роль интерфейса между пакетом OreTools и системой Maple. Они включают в себя функции прямого и обратного преобразования между данным многочленом Ore и соответствующим линейным функциональным уравнением.

Пакет поддерживает некоторые математические операции. Они включают в себя функции аккуратного интегрирования (раздел 3.3) и вычисления интегрирующего множителя (раздел 3.2).

Подмодуль Modular предоставляет пользователям основные операции над многочленами Ore, коэффициенты которых — рациональные функции над  $\mathbb{Z}_p$ ;

а подмодуль `FractionFree` предоставляет пользователям операции без использования дробей над многочленами Ore, коэффициенты которых — многочлены над  $\mathbb{Z}$ .

**5.3. Примеры.** В кольце  $A$  со сдвигом

```
> A := SetOreRing(n, 'shift');
```

$$A := \text{UnivariateOreRing}(n, \text{shift})$$

рассмотрим два многочлена Ore  $p_1$  и  $p_2$ :

```
> p_1 := \OrePoly((n-3)*n^2, n^4+n^3-4*n^2-n-2,
  n^4+3*n^3+2*n^2+n-4, n^3+6*n^2+10*n+2, n^2+6*n+6):
> p_2 := \OrePoly((n-3)*n^3, n^5+n^4-6*n^3+4*n^2-3*n-2,
  n^5+n^4-n^3+7*n^2-2*n-3, n^4+5*n^3+7*n^2+5*n+1, (n^2+6*n+6)*n):
```

Вычислим `gcd`  $p_1$  и  $p_2$ :

```
> GCD['right'](p_1, p_2, A);
```

$$\text{OrePoly}\left(\frac{n-3}{n^2-3}, 1\right).$$

Вычислим `gcd`  $p_1$  и  $p_2$ :

```
> GCD['left'](p_1, p_2, A);
```

$$\text{OrePoly}(n^2, n+1, 1).$$

Для двух многочленов Ore  $p_3$  и  $p_4$

```
> p_3 := \OrePoly(1, 1, 0, (a+2)*n):
> p_4 := \OrePoly(0, (a+2)*(a+1)*n):
```

предположим заранее, что значение параметра  $a$  удовлетворяет уравнению  $a(a+1)(a+2) = 0$ , и вычислим `gcd`  $p_3$  и  $p_4$  в зависимости от параметра  $a$ :

```
> ParametricGCRD(p_3, p_4, (a+1)*(a+2)*a, a, A);
```

$$\begin{cases} \text{OrePoly}(-1) & a = 0, \\ \text{OrePoly}(1, 1, 0, n) & a + 1 = 0, \\ \text{OrePoly}(1, 1) & a + 2 = 0. \end{cases}$$

## 6. СРАВНЕНИЕ

Есть и другие Maple-пакеты, которые предоставляют средства для работы с общими кольцами Ore или с конкретным кольцом Ore. Среди них пакет `Ore_algebra` [9] для колец Ore от нескольких переменных, пакет `DEtools` для дифференциального случая, пакет `LRtools` для случая сдвига и пакет `QDifferenceEquations` для случая  $q$ -сдвига. Хотя основное внимание `LRtools` и `QDifferenceEquations` сосредоточено на поиске решений специального вида (напр., полиномиальных, рациональных) для линейных рекуррентных ( $q$ -рекуррентных) соотношений с полиномиальными коэффициентами, пакеты `Ore_algebra` и `DEtools` предоставляют, хотя и в меньшей степени по сравнению с пакетом `OreTools`, поддержку основных операций в кольцах Ore.

Сравнение `DEtools` с `OreTools` проведено в двух экспериментах, описанных в разделе 4. В настоящем разделе мы сравниваем `Ore_algebra` с `OreTools`.

Единственная функциональность пакетов, которая позволяет провести прямое сравнение между `Ore_algebra` и `OreTools`, — это расширенный правый алгоритм Евклида: `skew_gcdex` в `Ore_algebra` и `ExtendedGCD` в `OreTools`. Использование `skew_gcdex` является единственным способом вычислить `gcd` в пакете `Ore_algebra` (неизбежное построение двух дополнительных многочленов иногда оказывается избыточным).

В этом эксперименте использованы два набора тестов. Каждый набор состоит из 10 пар многочленов  $p_1$  и  $p_2$ . Пары первого набора порождались в кольце со сдвигом, а второго — в дифференциальном кольце.

На каждую пару  $p_1, p_2$  наложены следующие ограничения:

$$7 \leq \deg p_1, \deg p_2 \leq 10; \quad \deg \gcd(p_1, p_2) \geq 2;$$

Каждый коэффициент  $p_1$  и  $p_2$  — многочлен степени не более 5 и состоит не более чем из 2 членов.

Таблицы 3 и 4 отражают затраты `ExtendedGCD` и `skew_gcdex` по времени (в секундах) и памяти (в килобайтах).

ТАБЛИЦА 3. OreTools и Ore\_algebra: рекуррентный случай.

	ExtendedGCD		skew_gcdex	
	время	память	время	память
1	123	703,329	1,691	4,669,006
2	55	276,828	487	1,555,668
3	183	830,378	1,269	3,420,360
4	44	230,488	648	1,977,186
5	145	654,363	364	1,219,685
6	113	511,026	268	979,230
7	47	236,447	470	1,549,453
8	179	780,795	656	1,984,256
9	49	241,977	128	490,365
10	89	417,157	177	635,439

ТАБЛИЦА 4. OreTools и Ore\_algebra: дифференциальный случай.

	ExtendedGCD		skew_gcdex	
	время	память	время	память
1	24	245,039	765	2,828,435
2	20	169,934	189	976,940
3	38	340,290	437	1,968,124
4	20	167,486	300	1,324,531
5	11	81,216	151	861,778
6	23	206,490	53	360,019
7	17	159,388	216	1,030,755
8	23	201,707	333	1,370,342
9	13	113,148	47	319,017
10	13	117,665	61	418,924

Стоит заметить, что все кольца Ore, объявленные в пакете Ore\_algebra, по умолчанию имеют целые коэффициенты, и любой другой тип коэффициентов надо явно объявлять. Поэтому простейшие операции могут потребовать от пользователей нетривиальных усилий и знаний.

## 7. ДОСТУП

Информация о доступе к библиотечному архиву пакета OreTools, образцам рабочих распечаток Maple, а также об установке пакета находится по следующему адресу:

<http://www.scg.math.uwaterloo.ca/~hqle/code/OreTools/OreTools.html>

## СПИСОК ЛИТЕРАТУРЫ

- [1] С.А.Абрамов. Рациональные решения линейных обыкновенных дифференциальных и разностных уравнений с полиномиальными коэффициентами. *Журнал вычисл. матем. и матем. физики*, 1989, No 11, С. 1611–1620.
- [2] S.A. Abramov, J.C. Carette, K.O. Geddes, H.Q. Le. *Symbolic Summation in Maple*. Technical Report CS-2002-32, School of Computer Science, University of Waterloo, Ontario, Canada, 2002.
- [3] S.A. Abramov, M. van Hoeij. Integration of solutions of linear functional equations. *Integral Transformations and Special Functions* **8** (1999) no. 1-2, 3–12.
- [4] S.A. Abramov, H.Q. Le, Ziming Li. OreTools: a computer algebra library for univariate Ore polynomial rings. *Technical Report CS-2003-12*, School of Computer Science, University of Waterloo, Ontario, Canada.
- [5] S.A. Abramov, E.V. Zima. Minimal completely factorable annihilators. In: W. Küchlin (ed.), *Proceedings of the 1997 International Symposium on Symbolic and Algebraic Computation*, ACM Press, 290–297.
- [6] S.A. Abramov, E.V. Zima. D'Alembertian solutions of inhomogeneous linear equations (differential, difference, and some other). In: Y.N. Lakshman (ed.), *Proceedings of the 1996 International Symposium on Symbolic and Algebraic Computation*, ACM Press, 232–240.
- [7] S.A. Abramov, E.V. Zima. A universal program to uncouple linear systems. In: *Proceedings of International Conference on Computational Modeling and Computing in Physics*, Dubna, Russia, Sept. 16-21, 1996 (1997) 16–26.
- [8] M. Bronstein, M. Petkovšek. An introduction to pseudo-linear algebra, *Theoretical Computer Science* **157** (1996) 3–33.
- [9] F. Chyzak, B. Salvy. Non-commutative elimination in Ore algebras proves multivariate identities. *Journal of Symbolic Computation* **26** (1998) no. 2, 187–227.
- [10] P.M. Cohn. *Free Rings and Their Relations*. Academic Press, 1971.
- [11] P.M. Cohn. *Skew Fields, Theory of General Division Rings*. Encyclopedia of Mathematics and its applications **57** (1995) Cambridge University press.
- [12] M. Giesbrecht, Y. Zhang. Factoring and decomposing Ore polynomials over  $\mathbb{F}_p(t)$ . To appear in the *Proceedings of the 2003 International Symposium on Symbolic and Algebraic Computation*.

- [13] П.Е.Глотов. Алгоритм поиска наибольшего общего делителя полиномов Ore с полиномиальными коэффициентами, зависящими от параметра. *Программирование*. 1998. N 6. С. 14–21.
- [14] R.W. Gosper. Decision procedure for indefinite hypergeometric summation. *Proc. Natl. Acad. Sci. USA* **75** (1978) 40–42.
- [15] J. van der Hoeven. FFT-like multiplication of linear differential operators. *Journal of Symbolic Computation* **33** (2002) no. 1, 123 - 127.
- [16] N. Jacobson. Pseudo-linear transformations. *Annals of Mathematics* **38** (1937) no. 2, 484–507.
- [17] E. Landau. Über irreduzible Differentialgleichungen. *J. für die reine und angewandte Mathematik* **124** (1902) 115–120.
- [18] H.Q. Le. A direct algorithm to construct the minimal  $Z$ -pairs for rational functions. *Advances in Applied Mathematics* **30** (2003) 137–159.
- [19] Z. Li. A subresultant theory for ore polynomials with applications. In: O. Gloor (ed), *Proceedings of the 1998 International Symposium on Symbolic and Algebraic Computation*, ACM Press, 132–139.
- [20] Z. Li, I. Nemes. A modular algorithm for computing greatest common right divisors of Ore polynomials. In: W. Küchlin (ed.), *Proceedings of the 1997 International Symposium on Symbolic and Algebraic Computation*, ACM Press, 282–289.
- [21] A. Loewy. Über reduzible lineare homogene Differentialgleichungen. *Math. Annalen* **56** (1903) 549–584.
- [22] A. Loewy. Über vollständig reduzible lineare homogene Differentialgleichungen. *Math. Annalen* **62** (1906) 89–117.
- [23] M.B. Monagan, K.O. Geddes, K.M. Heal, G. Labahn, S.M. Vorkoetter, J. McCarron, P. Demarco. *Maple 8 Introductory Programming Guide*. Waterloo Maple Inc., Waterloo, Ontario, Canada, 2002.
- [24] O. Ore. Theory of non-commutative polynomials. *Annals of Mathematics* **34** (1933) 480–508.
- [25] O. Ore. Formale Theorie der linearen Differentialgleichungen (Erster Teil). *J. für die reine und angewandte Mathematik* **167** (1932) 221–234.
- [26] O. Ore. Formale Theorie der linearen Differentialgleichungen (Zweiter Teil). *J. für die reine und angewandte Mathematik* **1** (1932), 233–252.
- [27] E. G. C. Poole. *Introduction to the theory of linear ordinary differential equations*. Dover Publications Inc., New York, 1936.
- [28] M. Petkovšek. Hypergeometric solutions of linear recurrences with polynomial coefficients. *Journal of Symbolic Computation* **14** (1992) 243–264.
- [29] Рябенко А.А. Maple-пакет символьного построения решений линейных обыкновенных дифференциальных уравнений в виде степенных рядов *Программирование*. 1999. N 5. С. 71–80.
- [30] J.H.M. Wedderburn. Non-commutative domains of integrity. *J. Reine Angew. Math.* **167** (1932) 129–141.

КОЛЬЦА МНОГОЧЛЕНОВ ОРЕ ОДНОЙ ПЕРЕМЕННОЙ В КОМПЬЮТЕРНОЙ АЛГЕБРЕ 7

Вычислительный центр им. Дородницына, Российская академия наук, Москва,  
Россия

*E-mail address:* `abramov@ccas.ru`

SYMBOLIC COMPUTATION GROUP, UNIVERSITY OF WATERLOO, WATERLOO, CANADA

*E-mail address:* `hqle.@scg.math.uwaterloo.ca`

SYMBOLIC COMPUTATION GROUP, UNIVERSITY OF WATERLOO, WATERLOO, CANADA

*E-mail address:* `z6li@scg.math.uwaterloo.ca`